

## Mercury isotope production with the photochemical method

Yu. V. Vyazovetskiy

Russian Research Center "Kurchatov Institute", Moscow, Russia

*The RRC "Kurchatov Institute" has designed an experimental setup and developed procedures applicable for extraction of highly enriched mercury isotopes with a photochemical method which makes use of an oxidation reaction of selectively excited mercury atoms in the presence of butadiene-1,3. Having studied the effect of various factors including the influence of light source operation modes on the enrichment process selectivity on an automated plant, we have manufactured the following isotopes: Hg-196, Hg-198, Hg-199, Hg-200 and Hg-202 of various concentrations.*

УДК 621.373

## Генератор Маркса на кабельных линиях

Ю. Ф. Бондарь, Г. П. Мхеидзе

Институт общей физики РАН, Москва, Россия

*Изготовлен четырехкаскадный кабельный генератор Маркса из двойных коаксиальных кабелей. Измерения показали, что коэффициент умножения напряжения в генераторе  $k = U_{out} / U_0$  существенно меньше ожидаемого (в пределах 2–3 вместо  $k \approx n = 4$ ), что объясняется наличием паразитных емкостей между каскадами генератора.*

В качестве генераторов импульсного напряжения широко используются двойные формирующие линии (ДФЛ) различной конфигурации [1] и в различных сочетаниях [2].

На рис. 1 представлено несколько вариантов ДФЛ: плоская из двух полосковых линий, коаксиальная из двух коаксиальных линий и двойная коаксиальная внешняя и внутренняя линии.

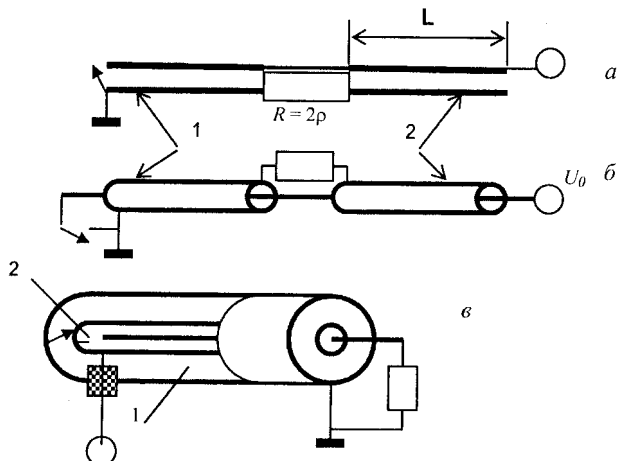


Рис. 1. Двойные формирующие линии:

- а — плоская (из двух полосковых линий 1 и 2);
- б — коаксиальная (из двух коаксиальных линий 1 и 2);
- в — двойная коаксиальная: внешняя 1 и внутренняя 2

ДФЛ просты в устройстве, совмещают функции накопителя энергии и формирователя им-

пульса и с высокой точностью обеспечивают импульсы прямоугольной формы.

Генерируемый ДФЛ импульс на согласованной нагрузке определяется как

$$R = 2\rho = 2 \frac{60}{\sqrt{\epsilon}} \ln \frac{D}{d},$$

где  $\rho$  — волновое сопротивление коаксиальной линии;

$\epsilon$  — диэлектрическая постоянная изолятора, заполняющего линии;

$D$  и  $d$  — внешний и внутренний диаметры линий). Импульс имеет амплитуду  $U_0 = U_{ch}$  ( $U_{ch}$  — зарядное напряжение), длительность импульса  $\tau = 2L\sqrt{\epsilon}/c$  ( $L$  — длина линий,  $c$  — скорость света) и энергоемкость  $W = U_0^2 \tau / R$ .

При создании импульсных генераторов в диапазоне напряжений 10–500 кВ по схеме ДФЛ целесообразно использовать промышленные кабели [3], характеристики некоторых из них даны в таблице.

№	Диапазон напряжений, кВ	Диаметр $2R$ , мм	Волновое сопротивление $\rho$ , Ом
1	До 30	11	50
2	До 300	28	25
3	До 500	40	50
4	До 30	7	$\rho_1 = \rho_2 = 25$

В Институте общей физики РАН был изготовлен ряд генераторов по схеме ДФЛ в кабельном исполнении (КДФЛ) [4, 5].

В работе [4] для создания генератора была изготовлена двойная коаксиальная линия (рис. 2) из кабелей РК-50-3-11 (№ 4 в таблице) и РК-50-11-11. Для равенства волновых сопротивлений внутренней и внешней линий  $R_1/r_1 = R_2/r_2$ . По заказу на опытном заводе НИИ кабельной промышленности был изготовлен двойной коаксиальный кабель с волновым сопротивлением внутренней и внешней линий 25 Ом. Характеристики его даны в таблице (№ 4).

Достоинства кабельных ДФЛ (КДФЛ), особенно на двойном коаксиальном кабеле, — простота и технологичность. Генераторы на кабелях конструктивно просты, вышедшие из строя (обычно в результате электрических пробоев) элементы можно легко заменить. Отметим, что в ДФЛ на двойном кабеле практически отсутствуют поля рассеяния. КДФЛ можно использовать по схеме генератора Маркса (кабельный генератор Маркса — КГМ) [2]. Схема четырехкаскадного генератора на двойных коаксиальных линиях показана на рис. 3.

Достоинства КГМ — простота и технологичность КДФЛ, умножение напряжения, простота коммутации (общий разрядник).

Нами был изготовлен четырехкаскадный кабельный генератор Маркса (КГМ) из двойных кабелей длиной 4 м. Зарядное напряжение составляло 200 В, так что на выходе на нагрузке  $R = 200$  Ом ожидался импульс напряжения с амплитудой 800 В и длительностью 40 нс. Измерения показали, что коэффициент умножения  $k = U_{out}/U_0$  был существенно меньше в пределах 2–3 вместо  $k \approx n = 4$ , причем  $k$  зависел от взаимного расположения кабелей. Форма генерированного импульса приведена на рис. 4.

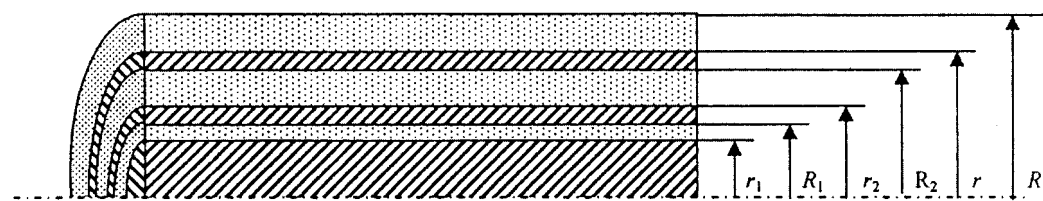


Рис. 2. Двойная коаксиальная линия:

Изолятор      Проводник

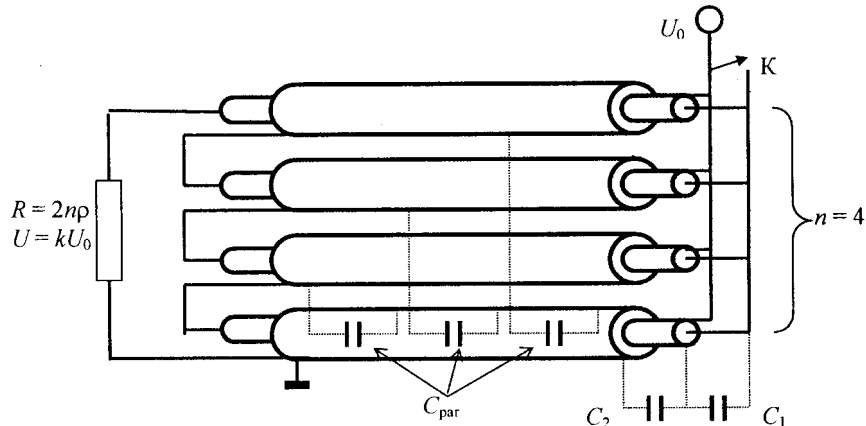
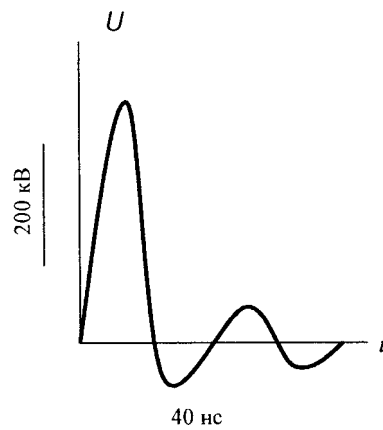


Рис. 3. Схема четырехкаскадного генератора Маркса на двойных коаксиальных линиях

Рис. 4. Форма генерированного импульса



Низкий коэффициент умножения и колокообразная форма импульса (вместо прямогольной) связаны, по нашему предположению, с наличием паразитных емкостей между линиями.

Емкость коаксиальных линий  $C_1 = C_2 = \frac{0,55\epsilon L}{\ln D/d}$ , их суммарная емкость при зарядке

линий  $C$  будет  $\frac{4,4\epsilon L}{\ln D/d}$ . При  $D/d \approx e$  и  $\epsilon \approx 2,5$

имеем  $C \approx 11L$  [пФ]. Емкость при разрядке (емкость в ударе) равна  $C_{be} \approx C/4 = 2,75$  пФ.

При срабатывании ключа К, т. е. при разрядке линий, между последними возникает напряжение, что ведет к зарядке паразитных емкостей  $C_{par}$ . Емкость  $C_{par}$  можно оценить по формуле емкости между проводами диаметром  $d$

и длиной  $L$ :  $C_{par} = \frac{0,12\epsilon L}{\ln 2a/d}$ ,  $a$  — расстояние ме-

жду проводами. Для воздуха  $\epsilon = 1$ , но следует

учесть обычно покрывающий линии слой пластика толщиной  $R - r$  (см. рис. 3) с  $\epsilon \approx 2,5$ .

Таким образом, суммарная паразитная емкость между линиями сравнима с емкостью в ударе самих формирующих элементов, так что существенная часть энергии при срабатывании КГМ идет на зарядку паразитных емкостей, в результате чего уменьшается коэффициент умножения КГМ и искажается форма импульса.

## Л и т е р а т у р а

1. Месяц Г. А., Насибов А. С., Кремнев В. В. Формирование наносекундных импульсов высокого напряжения. — М.: Энергия, 1970.
2. Fitch R. A., Howell V. T. S./Proc. IEE. 1964. V. 111. № 4. P. 849—855.
3. Короп Е. Д./ПТЭ. 1981. № 1. С. 124—125.
4. Бондарь Ю. Ф., Гоманько А. А., Кременцов В. И. и др./// Там же. 1991. № 1. С. 142—144.
5. Бондарь Ю. Ф., Мхедзе Г. П., Петров Н. И./КСФ ФИАН. 1999. № 3. С. 51.

Статья поступила в редакцию 19 октября 2004 г.

## Cable Marx generator

*Yu. F. Bondar, G. P. Mkhedze*  
General Physic Institute, Moscow, Russia

*A 4 — stage cable Marx generator consisting of double axial cables has been manufactured. Measurements show that the voltage multiplication factor  $k = U_{out}/U_0$  is much less than expected ( $k = 2—3$  instead of  $k \approx n = 4$ ), which is explained by the presence of a spurious capacitance between the generator stages.*

УДК 537.3

## Методика расчета параметров режимов рассредоточенных систем электроснабжения с протяженными кабельными линиями напряжением 6 кВ

*И. А. Каримский*  
НТЦ "РАСЭЛ", Москва, Россия

*Рассмотрена упрощенная методика расчета параметров режимов рассредоточенных (на местности) систем электроснабжения (СЭС) малой мощности с протяженными кабельными линиями (КЛ) 6 кВ, находящихся в собственности потребителей. В основу расчета, проводимого на этапе предварительного проектирования СЭС, положена П-образная схема замещения КЛ — расчетная модель линий в составе СЭС, адекватно отражающая происходящие в системе установившиеся нормальные процессы.*

Электроснабжение современных узлов связи, крупных радиотехнических систем, автоматизированных средств управления систем жизнеобеспечения и других потребителей, удаленных от Центра, осуществляется от рассредоточенных СЭС, подключенных, как правило, к энергосистемам (ЭС). К таким системам, находящимся в собственности потребителей, предъяв-

ляются повышенные требования к надежности и бесперебойности питания, к качеству электроэнергии и электромагнитной совместимости электроприемников (ЭП). Поэтому в их состав входят собственно источники электроэнергии (ИЭ) — дизель-генераторы. Фрагмент функциональной структурной схемы такой СЭС приведен на рис. 1.